



KNIHOVNA
STÁTNÍHO ÚSTAVU
PRO GEOFYSIKU

Seismische Registrierungen der Erdbebenwarte in Eger

vom 20. November 1908 bis 31. Dezember 1911.

Von k. k. Professor Dr. Georg Irgang.

(Mit zwei Tafeln).

Anlässlich eines der in unserer Gegend regelmäßig wiederkehrenden Erdbebenschwärme wurden am 2. November 1908 in Eger behufs genauer Registrierung seismischer Erscheinungen mehrere Instrumente aufgestellt¹⁾. Bevor die Beobachtungsergebnisse angeführt werden, mögen einige kurze Angaben über den Beobachtungsraum und die der Instrumente vorausgeschickt werden.

Die Station liegt 430 m über dem Meere. $\varphi = 50^{\circ} 5'$ $\lambda = 30^{\circ} 2'$ ö. v. F. Der Boden des Beobachtungsraumes befindet sich etwa 5 m unter dem Straßenniveau im Gebäude der k. k. Staatsrealschule (Rudolfinum) an einer Ecke, sodaß an zwei Seiten die Straße vorüberführt. Der rechteckige Raum ist mit seiner Längsseite (7 m) ungefähr E—W und mit der Breitseite (4 m) N—S orientiert. Der Untergrund ist aufgeschüttetes Material aus der Zeit der mittelalterlichen Festungsbauten der Stadt Eger. Unter dem Aufschüttungsmaterial liegen tertiäre Sande und Tone mit Flötzbildungen. Die Gesamtmächtigkeit dieser Gebilde dürfte schätzungsweise 20 m betragen. Die die Basis bildenden steil aufgerichteten Phyllite gehören dem Komplex des böhmischen Massives an. Der Umstand, daß die Instrumente in einem stark besuchten Schulgebäude an zwei Straßen, die allerdings schwach befahren werden, untergebracht sind, macht sich ungünstig geltend. Da die Längsseite nach Süden gewendet ist, so ist auch bei Sonnenschein der Einfluß der Erwärmung des Mauerwerkes bemerkbar, der allerdings nicht störend wirkt. Die Temperaturen im Beobachtungsraume bewegen sich während des ganzen Jahres zwischen 5° und 15° C. Unter Feuchtigkeit hat der Raum nicht viel zu leiden. Es wird überdies Chlorkalzium zur Trocknung der Luft in Schalen aufgestellt.

Vom November 1908 bis Juli 1909 wurden zwei Horizontalpendel mit optischer Registrierung aus dem Instrumentarium der Laibacher Erdbebenwarte verwendet. Das eine Pendel war vollständig ungedämpft; das andere hatte eine schwache Luftdämpfung. Beide waren auf einem Betonpfeiler von 67 cm Querschnitt und 3.2 m Höhe aufgestellt. Der Pfeiler geht 2 m tief in den Boden hinein und steht vollkommen frei auf dem Aufschüttungsmaterial der ursprünglichen Festungsbauten. Der übrige Teil desselben (etwa 1.2 m) ragt frei über den Boden empor. Die Registrierapparate stehen auf einem Tische in einer Entfernung von 5 m. Die Geschwindigkeit der Registrierung beträgt 5 mm pro Minute.²⁾

Seit Juli 1909 stehen zwei von dem hiesigen Uhrmacher K. Wilfert hergestellte Horizontalpendel in Verwendung. Die stationäre Masse beträgt je ein Kilogramm. Die zunächst ungedämpften Apparate erhielten später eine

¹⁾ Siehe Jahresbericht der k. k. Staatsoberrealschule in Eger 1908—09.

²⁾ Die nähere Beschreibung der Apparate siehe ebenda.

magnetische Dämpfung. Die einfachen Einrichtungen sind aus der beigegebenen Photographie leicht erkenntlich. Seit Juli 1910 ist gleichzeitig noch die E—W Komponente eines Conrad-Pendels für die Registrierung von Nahbeben in Verwendung.

Die Zeitmarkierung war bis Juli 1910 eine etwas primitive. Es wurde eine Präzisionstaschenuhr regelmäßig einmal in der Woche mit dem Zeitsignal, das auf dem hiesigen bayerischen Bahnhofs von der Münchener Sternwarte gegeben wird, verglichen und eingestellt. Mittelst dieser Uhr wurde Beginn und Unterbrechung der Registrierung auf dem Registrierstreifen markiert und die Zeitangaben durch Interpolation zwischen diesen beiden Punkten ermittelt. Seit Juli 1910 wird die Zeitmarkierung durch eine Uhr mit Riefler-Pendel besorgt, welche Minuten und Stundenkontakt gibt. Diese Uhr wird ebenfalls nach dem erwähnten Zeitsignal kontrolliert.

Bezeichnungsweise.

Die im folgenden in Verwendung genommene Zeichen sind nach der Göttinger Anordnung und Bezeichnungsweise gewählt.

1. Charakter des Erdbebens:

I = merklich, II = auffallend, III = stark.

2. Phasen eines Erdbebens:

P = erster Vorläufer,
 PR = reflektierte Wellen,
 S = zweiter Vorläufer,
 L = lange Wellen (Hauptphase),
 M = größte Bewegung der Hauptphase,
 C = Nachläufer,
 F = Erlöschen der Bewegung.

3. Art der Bewegung:

i = Einsatz,
 e = Auftauchen,
 N = Komponente Nord—Süd,
 E = Komponente Ost—West.

Die Amplitude der Bewegung bedeutet die Entfernung eines Umkehrpunktes vom nächsten gemessen in $\mu = 0.001$ mm. Die Periode bedeutet die Dauer eines Hin- und Herganges, gemessen in Sekunden. Die Zeitangaben sind in mitteleuropäischer Zeit gemacht, gezählt von Mitternacht bis Mitternacht. Die nachstehende Tabelle möge eine Übersicht über die jeweiligen Konstanten der Horizontalpendel geben.

Beobachtungszeit	Eigenperiode		Dämpfung*)		Vergrößerung	
	Komp.	SE-NW/NE-SW	SE-NW/NE-SW	SE-NW/NE-SW	SE-NW/NE-SW	SE-NW/NE-SW
20. November 1908 20 ^h 49' bis 21. Januar 1909 15 ^h 42'		8 6	1 1.1	105 105		
	Komp.	E-W/N-S	E-W/N-S	E-W/N-S	E-W/N-S	E-W/N-S
22. Januar 1909 13 ^h 3' bis 20. Juli 1909 8 ^h 53'		6 8	1.1 1	105 105		
20. Juli 1909 17 ^h 10' bis 19. Feber 1910 17 ^h 10'		15 8	1 1	110 110		
19. Feber 1910 17 ^h 10' bis 29. März 1910		20 8	2.5 1	110 110		
29. März 1910 bis 1. Juli 1910.		20 7	2 1	110 110		
7. September 1910 10 ^h 7' bis 18. Feber 1911 16 ^h 23'		19 21	2 4	110 110		
18. Feber 1911 17 ^h 59' bis 31. Dezember 1911		20 16	1.2 7	110 110		

*) Verhältnis zweier aufeinanderfolgender Amplituden nach einem künstlichen Anstoß.

Datum	Charakter	Komponente	Phase	Zeit			Periode s	Amplitude μ	Bemerkungen
				h	m	s			
1908.									
Nov. 28.	I	SE	eL	22	22				
28.	I	SE	eL	23					
30.	I	SE	eL	23	22				
			F	24					
Dez. 22.	I	NE	e	4	27				3. Dezember 10 h 33' bis 13. Dez. 10 h unterbrochen.
			F	4	37				
23.	I	NE	e	22	22			20	Verswindet in der Bodenunruhe.
			M	22	28				
			F	22	50				
25.	I	NW	e	22	30				
			M	22	44			20	
			F	23	10				
28.	III	NE	iP	5	23	18	200		Von 5 h 27' bis 5 h 37' ist das Diagramm nicht sichtbar.
			iS	5	25	3	100		
			SR	5	25	39	200		
			eL	5	30?		?		
			M	5	31?		?		
			F	6	15				Starkes Erdbeben in Süditalien. Zerstörung von Messina.
1909.									
Januar 1.	I	NE	e	22	47			} 10	
			F	22	54				
13.	I	NE	eP	1	47	54			Tirol—Oberitalien.
			eS	1	48	24			
			L	1	49			40	
			M	1	49	25			
			F	1	56				
19.	II	NE	e	6	30				Gliederung des Diagrammes infolge starker Bodenunruhe nicht durchführbar.
23.	III	E	iP	3	55	12	20		
			S	4	0	34	200		
			L	4	3				
			M	4	11			200	
			F	5	30				
24.	I	E	e	18	48			10	
			M	18	54				
			F	19	10				Die vom 28. Januar bis 5. Feber herrschende Bodenunruhe läßt schwächere seismische Wellen nicht erkennen.
Feber 6.	I	E	e	3	55				
			F	4	20				
6.	I	N	e	14	20				
			F	14	55				
9.	II	E	P	12	28	37	20		Epizentralentfernung 3200 km.
			S	12	32	55	85		
			L	12	39				
			M	12	42			200	
			F	13	10			50	
9.	I	E	eP	15	45				
			eS	15	49.4				
			eL	15	54.5				
			M	15	56.2			18	

Datum	Charakter	Komponente	Phase	Z e i t			Periode s	Amplitude μ	Bemerkungen
				h	m	s			
Feber 10.	I	E	eP	20	55				
			M	20	59		20		
			F	21	25				
13.	I	E	e	6	8		4		
			F	6	23				
13.	I	E	eP	20	27.5		10		
			F	20	35				
14.	I	N	eP	16	50.2				
			eL	16	53.1				
			L	16	56.4				
15.	I	N	M	17	30		30		
			F	17	30				
			eP	2	20	42			
15.	II	N	M	2	26		20		
			F	2	41				
			eP	10	40	24			Jambuli in Bulgarien.
16.	I	E	S	10	41	48			
			L	10	43	12			
			M	10	44		200		
16.	I	E	F	11	10		15		
			eF	9	33.2				
16.	I	E	F	9	55		5		
			eF	18	13				
19.	I	E	F	18	27		5		
			eF	11	12				
22.	I	E	F	11	26				
			eF	10	42	2			
			S	10	54	15			
22.	I	E	L	11	4		15		
			F	12	33				
			iP	15	21	17	15		Epizentraldistanz 3000 km.
22.	I	E	iS	15	25	30	20		
			eL	15	30				
			M	15	32.1		10		
22.	I	E	F	16			2		
			eF	22	55				
24.	I	E	F	23	4		2		
			eF	6	30				
26.	I	E	F	6	37				
			eP	17	59	43		9200 km	
			iS	18	9	55	8		
März 5.	I	E	eL	18	21		4		
			M	18	41				
			F	19	10				
7.	I	E	i	13	26	18	8		Kalabrien
			eL	13	32				
8.	I	E	F	13	50		5		
			eF	20	6				
8.	I	E	F	20	18		5		
			iF	12	45	30			
8.	I	N	F	14	20				
			iF	17	9				
10.	I	E	e	17	25				
			i(S)	23	40	45			
			F	23	42	47	15		
			F	24					

Datum	Charakter	Komponente	Phase	Z e i t			Periode s	Amplitude μ	Bemerkungen
				h	m	s			
März 11.	I	E	eP	1	6	35			
			iS	1	16	43			
			eL	1	37.5				10
11.	I	E	M	1	43				
			F	2	26				
11.	I	E	eL	15	50				
			F	16	2				
11.	I	E	eL	22	13				
			F	22	31				
12.	I	E	eL	2	6				
			F	2	22				
12.	I	E	eL	2	45				
			F	2	59				
12.	I	E	eL	20	22				
			F	20	32				
13.	II	E	eP	0	31	20			Epizentraldistanz 9500 km.
			iS	0	42	00			
			eL	1	2				
13.	II	E	M	1	9.6		25		
			F	2	45				
			iP	15	41	56			Epizentraldistanz 9000 km.
13.	II	E	iS	15	51	42	20		
			eL	16	8				
			M	16	16		30		
18.	I	E	F	18	20				
			eP	0	11	40			
			eS	0	19	6			
22.	I	E	eL	0	29				
			M	0	58		10		
			F	1	40				
22.	I	E	e	6	11				
			M	6	21		7		
			F	6	45				
22.	I	E	e	21	15.5				
			i	21	26	34			
			eL	21	46				
27.	I	E	M	21	53.9		10		
			F	22	32				
			eF	15	29				
29. April	I	E	F	15	45				
			eF	5	1				
2.	I	E	F	5	5				
			eF	2	28		4		
3.	I	E	F	2	45				
			eS	3	41				
			eL	3	45		10		
7.	I	E	M	3	49				
			M	3	52.5		5		
			F	4	3				
10.	II	E	eF	20	36.8		3		
			iP	20	40				
10.	II	E	S	6	44	21			
			eL	6	55	42			8
			M ₁	7	14				5
10.	II	E	M ₂	7	47				5
			M ₃	7	53				4
			M ₄	7	57				3
			F	8	3				
			F	9	15				

Datum	Charakter	Komponente	Phase	Zeit			Periode s	Amplitude μ	Bemerkungen
				h	m	s			
April 10.	I	E	e	19	24				
			eS	19	33				
10.	II	E	eP	19	53	50	3	Das Ende fällt in das nächste Diagramm.	
			iS	20	1	16			
			eL	20	9.5			Epizentraldistanz 6000 km.	
			M ₁	20	11.5		20		
			M ₂	20	14.2		35		
			M ₃	20	15.9				
10.	II	E	eP	20	45	34		Epizentraldistanz 9000 km.	
			iS	20	55	04			
			eL	21	9.5				
			M	21	20.6		16		
			F	22	40				
11.	I	E	eP	5	7.8				
			eS	5	13	30			
			eL	5	19.5				
			M	5	24		5		
			F	6					
11.	I	E	eP	15	(11	00)			
			i	15	22	12			
			eL	15	40				
			F	16	30				
11.	I	N	e	21	6.5			Stärkere Bodenunruhe.	
			eL	21	34				
			M	21	44				
			F	22					
12.	I	E	eL	3	10				
			F	4	15				
14.	I	E	e	0	33				
			F	0	43				
14.	I	E	iP	21	4	34		Epizentraldistanz 9000 km.	
			iS	21	15	54			
			eL	21	31				
			M	21	40.3		22		
			F	22	30				
23.	I	E	iP	18	43	59	30	Portugal.	
			iS	18	47	27			
			L	18	50				
			M ₁	18	51.9		280		
			M ₂	18	54.7		120		
			F	19	45				
25.	I	E	e	2	48				
			F	3	10				
25.	I	E	e	8	2				
			F	8	52				
25.	I	E	e	10	3				
			F	10	30				
25.	I	E	e	23	13				
			eL	23	42				
26.	I	E	e	0	3				
			eL	0	28				
			M	0	40		4		
			F	1	15				
27.	I	E	F	16	36			Der Beginn des Diagramms fällt in den Wechsel des Papiers.	
28.	I	N	e	8	15				
			F	9	45				

Datum	Charakter	Komponente	Phase	Zeit			Periode s	Amplitude μ	Bemerkungen
				h	m	s			
April 29. 30.	I	E	e	23	57				
			S	0	5	20			
			eL	0	22				
			M	0	38.5			10	
			F	1	25				
Mai 1.	I	E	e	23	46				
			F	24					
2.	I	N	e	8	16				
			F	9	20				
3.	I	N	eL	3	45				
			F	4	15				
10.	I	E	e	21	27				
			eL	21	35			3	
			F	22	10				
								11 und 12. Mai Registrierung unterbrochen.	
13.	I	E	i	15	2	24			
			F	15	50				
17.	II	E	P	9	16	12		Meldungen von Winnipeg.	
			i	9	19	54			
			iS	9	26	2		110	
			i	9	28	22			
			eL	9	39				
			F	12					
18.	I	E	eL	18	25			4	
			F	18	40				
18.	I	E	eL	19	50			3	
			F	20	8				
23.	I	E	e	6	44				
			iS	6	53	42		5	
			F	7	30				
23.	I	E	e	12	28			2	
			F	12	50				
25.	I	E	e	6	10			3	
			F	7	15				
26.	I	E	e	3	40			2	
			F	4	30				
30.	II	E	P	7	18	13		Epizentraldistanz 2000 km.	
			S	7	21	16			
			L	7	24.2				
			M ₁	7	25			230	
			M ₂	7	27			100	
			F	8	5				
30.	I	E	eP	22	21	15			
			S	22	30	35			
			eL	22	57				
			M	23	6			2	
			F	23	40				
Juni 3.	II	E	eP	19	53	38			
			S	20	3	56			
			L	20	24				
			M	20	40.5			15	
			F	22	40			3	
			e	6	18.5				
6.	I	E	eL	6	45			3	
			F	7	30				

Datum	Charakter	Komponente	Phase	Z e i t			Periode s	Amplitude μ	Bemerkungen
				h	m	s			
Juni 8.	II	E	P	7	0	33	24	22	Epizentraldistanz 10000 km.
			eS	7	11	30			
			eL	7	24				
			M ₁	7	43				
9.	I	E	M ₂	7	47		16	20	
			F	9	40				
			e	1	52				
			M	2	32				
11.	II	E	F	3			16	3	
			eP	22	07				
			iS	22	09	33			
11.	I	E	L	22	10	45	100	100	In Marseille gefühlt.
			M	22	11	30			
						300			
11.	I	E	e	22	40		15	15	F fällt in das nächste Diagramm.
			M	22	41				
12.	I	E	F	23			3	3	
			eP	21	41.1				
			eS	21	(51)				
			eL	22	30				
			M ₁	22	50				
			M ₂	22	57				
			F	23	40				
13.	I	E	F	10	36.5		2	2	
			e	10	42				
16.	II	E	eP	0	33	23	100	100	Epizentralentfernung 2100 km.
			eS	0	37	7			
			L	0	39.3				
			M ₁	0	39.7				
			M ₂	0	43				
			F	1	20				
			e	18	37				
16.	I	E	F	18	54		2	2	
			e	8	53				
18.	I	E	F	9	6		2	2	
			e	18	48.3				
19.	I	E	eL	18	53.2		12	12	
			M	18	54.3				
			F	19	20				
21.	I	E	e	20	22		2	2	
			F	20	40				
22.	I	E	e	14	18.2		40	3	Epizentraldistanz 10000 km.
			eS	14	29				
			eL	14	52				
			F	15	40				
22.	I	E	F	19	41		1	1	
			e	20	12				
23.	I	E	F	14	22		4	4	
			e	14	34				
27.	I	E	e	8	35	25	25	25	
			iS	8	38	55			
			eL	9	20				
			M	9	38				
29.	I	N	F	10	45		2	2	
			e	11	8				
Juli 1.	I	E	e	7	31		1	1	Messina.
			F	7	40				

Datum	Charakter	Komponente	Phase	Z e i t			Periode s	Amplitude μ	Bemerkungen
				h	m	s			
Juli 3.	I	E	e	20	57		12	12	
			M	21	2				
6.	I	E	F	21	30		1	1	
			e	6	56				
6.	I	E	F	7	04		1	1	
			e	12	8				
6.	I	E	F	12	26		1	1	
			e	12	39.5				
6.	I	E	F	17	48		1	1	
			e	17	56				
6.	I	E	F	18	36		1	1	
			e	18	56				
6.	I	E	eL	20	22.5		2	2	
			M	20	25.5				
7./8.	III	N	F	20	27		110	300	Epizentraldistanz 4500 km.
			iP	22	44	10			
10.	I	E	iS	22	50	14	3	3	Epizentraldistanz 9000 km.
			eL	22	57				
			M ₁	23					
			M ₂	23	9				
			F	1	30				
			e	22	0.5				
			F	22	3.5				
13.	I	E	eP	14	25.2		11	11	
			iS	14	35				
15.	II	N	eL	14	52		32	57	Elis (Griechenland).
			F	15	30				
			eP	1	38				
			eP	1	38				
			eS	1	41	10			
			eL	1	42	47			
			M ₁	1	44				
23.	I	N	M ₂	1	48		90	55	
			F	2	30				
26.	I	N	e	0	23		20	20	
			F	0	50				
26.	I	N	F	0	18		25	25	Epizentraldistanz 6000 km.
			eP	1	22				
			iS	12	4				
			eL	12	11				
27.	I	N	eL	12	23		56	56	
			M	12	30				
			F	13					
			e	16	50.8				
			eL	17	25				
			M	17	35				
			F	17	45				
28.	I	N	e	21	54		3	3	
			F	22	11				
30.	II	N	iP	12	4	53	20	60	Acapulgo (Mexiko).
			i	12	8	32			
			iS	12	16	33			
			eL	12	35				
			M ₁	12	39				
			M ₂	12	46				
			F	12	53				

Datum	Charakter	Komponente	Phase	Z e i t			Periode s	Amplitude µl	Bemerkungen
				h	m	s			
Juli 31.	I	N	e	19	58				
			i	20	7.4				
			eL	20	25				
31.	II	N	iP	20	32	39	6	F fällt in das nächste Diagramm. Acapulgo.	
			i	20	36	18	12		
			iS	20	43	59	20		
			eL	21	2				
			M ₁	21	7		24		
			M ₂	21	13		12		
			F	22	45				
August 2.	I	N	eP	11	28	46			
			eS	11	37	30			
			eL	11	50				
			M	12	4		20		
			F	13	30				
2.	I	N	e	15	48				
			M	15	54		8		
			F	16	15				
5.	I	E	e	1	5				
			M	1	8		6		
			F	1	15				
7.	I	N	eP	18	8	30	2		
			i	18	11	56	3		
			eL	18	20				
			F	19	50				
11.	I	E	e	13	55				
			M	14	1		3		
			F	14	6				
12.	I	E	e	13	20				
			F	13	45				
								Vom 12. August bis 20. August war die Registrierung unterbrochen.	
22.	I	E	e	9	23				
			M	9	30.5		15		
			F	9	44				
22.	I	E	e	16	41.5				
			eL	17	7		60		
			M	17	8				
			F	18					
22.	I	E	e	18	53				
			M	19	12		40		
			F	19	40				
24.	I	N	e	5	35				
			F	5	50				
24.	I	N	e	13	19				
			F	13	46				
25.	II	N	eP	1	24	4	100	Siena (Italien).	
			eS	1	25	43			
			eL	1	26	24			
								Fortsetzung fällt in das nächste Diagramm.	
25.	II	E	eP	1	32	14			
			eS	1	33	14			
			eL	1	35	8			
			M	1	35	26	30		
			F	2					
27.	I	N	e	19	59				
			F	20	8				

Datum	Charakter	Komponente	Phase	Z e i t			Periode s	Amplitude µl	Bemerkungen
				h	m	s			
August 28.	I	E	e	23	13.5			3	
			F	23	30				
29.	I	E	e	5	18			4	
			F	5	30				
29.	I	E	e	12	12			20	
			M	12	26				
			F	12	40				
30.	I	E	e	2				Lange Wellen.	
			F	3					
30.	I	N	e	14	13				
			S	14	23				
			F	15					
31.	I	E	e	12				Infolge starker Bodenunruhe sind die Einsätze nicht erkennbar.	
			F	14.5					
Sept. 1.	I	N	e	4	29			2	
			F	4	48				
6.	I	N	e	16	35			2	
			F	16	45			Lange Wellen.	
7.	I	N	e	16	39				
			eL	16	58.5			60	
			F	17	30				
8.	II	N	iP	18	0	54		130	
			iS	18	10	49			
			eL	18	28				
			F	19	45				
8.	I	N	e	20	6			2	
			F	20	40				
9.	I	N	e	0	38	22			
			eL	1	16			2	
			F	2					
9.	I	N	e	2	30			1	
			F	2	35				
10.	I	N	e	19	51.2			18	
			eL	20	1.6				
			F	20	4				
10.	I	N	e	21	40			1	
			F	21	50				
11.	I	E	e	6	9.2				
			eL	6	22.8			65	
			M	6	27				
			F	7					
11.	I	N	e	12	8				
			i	12	18				
			eL	12	42				
			F	13	40				
12.	I	N	e	1	4.9			2	
			F	1	50				
16.	I	N	e	20	8				
			eL	20	40				
16.	I	N	e	20	50				
			eL	21	18	24		30	
			M	21	23.5				
			F	22					
19.	I	N	eP	21	31	30			
			S	21	40				

Datum	Charakter	Komponente	Phase	Z e i t			Periode s	Amplitude μ	Bemerkungen
				h	m	s			
Sept. 19.	I	N	eL	23					Die beiden Diagramme decken sich zum Teil.
			M	23	1	45		15	
			F	23	15				Am 22. September von 15 h bis 17 h unterbrochen.
21.	I	N	eL	20	17			2	
			F	20	45				
			eL	21	15			2	
23.	I	N	F	7	40			2	
			F	8	20				
25.	I	N	F	21	40			1	
			F	22					
Okt. 2.	I	N	eL	15	23			2	
			F	15	30				
2.	I	N	eL	19	21				
			F	19	32			3	
2.	I	N	F	19	42				
			F	20	10			2	
2.	I	N	F	22	46				
			F	23	10			2	
4.	I	N	F	15	40				
			F	16	10				
8.	II	N	eP	11	0	48			Kroatien (Sziszik und Petrinja).
			eL	11	1	44			
			M	11	2	50		400	
			F	11	30				
10.	I	N	eL	6	40				Kroatien.
			F	6	40	50			
			M	6	41	35		35	
			F	6	45				
10.	I	N	eL	6	57	15			Kroatien.
			F	6	57	51			
			iL	6	58	13			
			M	6	58	32		70	
			F	6	58	45			
			F	7	5				
17.	I	N	eL	23	40	48		25	
			F	24					
18.	I	N	F	10	6			5	
			F	10	30				
21.	III	N	eP	0	48	30			Belutschistan, Bellpat.
			iS	0	53	24		15	
			eL	0	57			40	
			M	1	10			220	
			F	1	12	40			
			eL	2	45				
28.	I	N	eL	5	9 ²				
			M	5	36			4	
			F	5	44				
			F	6	20			2	
29.	I	N	F	8	28				
			F	8	45				
29.	I	N	eL	17	7				
			F	17	12				
			eL	17	40				
			F	17	40				
29.	I	N	eL	18	41	15			
			M	18	46			40	
			F	18	48				
			F	18	25				

Datum	Charakter	Komponente	Phase	Z e i t			Periode s	Amplitude μ	Bemerkungen
				h	m	s			
Okt. 30.	I	N	eL	11	37.5				
			F	12	13				
			eP	12	45				
31.	II	N	iS	11	35	31			
			eL	11	42	55			
			M	11	54			40	
			L	12	1			10	
			F	12	10			10	
			i	13	40				
31.	I	N	F	12	40	30			
Nov. 1.	I	N	eP	7	28				
			eL	7	43			4	
			F	8	40				
1.	I	N	F	10	20			3	
			F	10	45				
5.	I	N	F	7	50			1	
			F	8	5				
5.	I	N	F	10	22			1	
			F	10	27				
7.	I	N	F	6	7			1	
			F	6	17				
8.	I	N	F	18	9			1	
			F	18	24				
8.	I	N	F	22	24			2	
			F	22	45				
10.	II	N	iP	7	25	36		20	
			iS	7	35	8		40	
			eL	7	52				Epizentraldistanz 8500 km.
			M	8	0.5			180	
			F	9	30				
12.	I	N	F	5	37			3	
			F	6	0				
12.	I	N	F	21	25				
			F	21	40				Vom 18. November bis 22. November unterbrochen.
22.	I	N	eL	20	45			10	
			F	21	40				
24.	I	N	F	16	22			2	
			F	16	32				Vom 27. November bis 8. Dezember herrscht starke Bodenunruhe. Infolgedessen sind schwächere seismische Wellen nicht erkennbar.
Dez. 8.	I	N	eL	11	25			5	
			F	12	10				
9.	I	N	iL	16	55				
			eL	16	56	38			
			M	17	30			20	
			F	17	53			15	
			F	19	10				
9., 10.	I	N	eL	23	(06)			5	
			F	24	10				
10.	I	N	eL	0	45	(50)		5	
			i	0	52	54		30	
			eL	1	20				
			M	1	25			30	
			F	2	30				
13.	I	N	F	1	25	13			
			i	1	25	47		35	
			F	1	31				

Datum	Charakter	Komponente	Phase	Z e i t			Periode s	Amplitude μ	Bemerkungen
				h	m	s			
1910.									
Januar 1.	I	N	e	12	(13.5)				
			eS	12	24	48	28		
			eL	12	41		30		
			M	12	56				
			F	14	20				
7.	I	N	e	7	13		2		
			F	7	25				
8.	I	N	e	16	20		30		
			eL	16	28				
			F	17					9. bis 19. Januar sehr starke Bodenunruhe.
20.	I	N	e	19	13		3		
			F	19	30				
22.	III	N	iP	9	54	25	50		Auf Island geföhlt.
			iS	9	58	38	350		
			L	10	2.6		1200		
			M ₁	10	6.5		750		
			M ₂	10	15				
			F	12	40				
22.	I	N	e	21	20		2		
			F	21	32				
22.	I	N	e	21	51		2		
			F	22	5				
22.	I	N	e	22	12		2		
			F	22	40				
23.	I	N	e	20	(1)				
			iS	20	9	26	15		Einsatz infolge Bodenunruhe nicht deutlich.
			eL	20	19		20		
			M	20	21				
			F	21	40				
28.	I	N	e	19	5.7		15		
			F	19	24				
29.	II	N	e	0	59	20			
			L	1	00	50			
			M	1	1	50	90		
			F	1	9				} Steiermark.
29.	I	N	e	1	13	38			
			eL	1	14	50			
			M	1	15	14	80		
			F	1	22				
29.	I	N	e	7	5		3		
			F	7	30				
30.	I	N	e	5	6				
			eL	5	50		18	4	
			M	6	23				
			F	7	20				
30.	I	N	e	18	42		2		
			F	19					
Feber 2.	I	N	e	12	(38)		4		Fällt in den Papierwechsel.
			F	13					
3.	I	N	e	19	18		2		Verschwindet in der Bodenunruhe.
			F	19	40				

Datum	Charakter	Komponente	Phase	Z e i t			Periode s	Amplitude μ	Bemerkungen
				h	m	s			
Feber 4.	I	N	e	15	(20)				
			eL	16	5			4	
			F	17	40				
4.	I	N	e	18	56.1			3	
			eL	19	43				
			F	21	40				
5.	I	N	e	3	9			4	
			F	3	22				
10.	I	N	e	9	43			4	
			F	10					
12.	I	N	e	19	(22)				
			eS	19	(33.6)				Einsatz infolge starker Bodenunruhe unkenntlich.
			M	20	1		50		
			F	20	30				
18.	I	N	eP	6	13	10			Kreta.
			iS	6	16	36		60	
			eL	6	20			70	
			M	6	22				
			F	6	50				
23.	I	E	e	8	57			10	
			M	9					
			F	9	4				
27.	I	E	e	16	12			2	
			M	16	24				
			F	16	35				
28.	I	E	e	22	8	40			
			i	22	18	40			
			eL	22	40				
			M	22	53			6	
			F	23	30				
März 6.	I	E	e	20	1			2	
			M	20	10				
			F	20	24				
19.	I	E	e	1	46			2	
			M	1	56				
			F	2	30				
22.	I	E	e	3	11				
			i	3	12	28			
			M	3	13	30		10	
			F	3	20				
25.	I	E	eP	16	42	7			
			iS	16	51	0			Epizentraldistanz 8000 km.
			eL	17	10				
			M	17	24			3	
			F	18	10				
25.	I	E	e	20	22				
			F	20	32				
30.	I	E	eP	18	14	52			
		N	i	18	30	4			
		E	eL	18	50				
			M	19	18.5		22	16	
			F	21					
31.	I	E	e	19	47	30			
			eL	20	5				
			M	20	28		16	16	
			F	22					

Datum	Charakter	Komponente	Phase	Z e i t			Periode s	Amplitude μ	Bemerkungen
				h	m	s			
April 2.	I	E	e	6	50				
			F	7	24				
4.	I	E	F	3	12				
			F	3	45				
5.6.	I	N	e	23	59				
			F	24	8				
6.	I	N	F	2	41				
			e	2	50				
6.	I	N	F	3	25				
			e	3	38				
8.	I	E	e	17	54				
			i	18	7				
			eL	18	15	10			
			M	18	40				
			F	19	4	19			
9.	I	E	F	19	30				
			e	11	0				
9.	I	E	F	11	20				
			e	12	52				
			M	12	56.5				
			F	13	8				
11.	I	e	e	9	38				
			eL	9	41				
			M	9	43				
12.	II	E	iP	10					
			iS	1	34	10			Epizentraldistanz 9500 km (Costa Rica?).
			eL	1	44	45			
			M	2	5.4				
			F	2	8	12-15			
13.	I	e	F	4	10				
			e	8	27				
16.	I	E	F	8	50				
			eL	13	50				
			M	14	24				
			F	14	38				
17.	I	E	e	15	15				
			i	2	4				
			eL	2	10.3				
			M	2	40	20			
			F	2	46				
18.	I	E	e	4	20				
20.	I	E	F	9	18				F fällt in den Papierwechsel.
			e	1	43				
20.	I	E	F	2					
			e	23	43				
			F	24	50				
21.	I	E	e	2	50				
			F	2	56				
21., 22	I	E	e	23	20				
			F	1	10				
22.	I	E	e	8	12				
			M	8	23				
			F	8	40				
26.	I	E	F	3	50				
			e	3	57				

Datum	Charakter	Komponente	Phase	Z e i t			Periode s	Amplitude μ	Bemerkungen
				h	m	s			
April 26	I	E	e	15	32				
			M	15	40				
			F	16	11				
27	I	E	e	2	36	20			
			S	2	46	36			
			eL	3	6.5				
			M	3	17		18		6
			F	5					
Mai 1.	I	E	iP	19	50	32			
			eS	20	2	10			
			eL	20	25				
			M	20	56		21		8
			F	22	40				
2.	I	E	e	22	27				
			M	22	32				
			F	22	39				
4.	I	E	e	1	44				
			F	2					
4.	I	E	e	19	30				
			F	19	45		15		3
			M	20	10				
5.	I	E	eP	1	39	46			Cartago (Costa-Rica).
			eS	1	42	24			
			eL	2	8				
			M	2	28		16		4
			F	3	30				
6.	I	E	e	13	49				
			F	14	5				
8.	I	E	e	20	18				
			F	20	40				
9.	I	E	e	11	30				
			F	12	20				
9.	I	E	e	17	35				
			F	17	55				
10.	I	E	e	10	(53)				
			F	11					
10.	I	E	eL	15	40				
			M	15	46				
			F	16	45				
10.	I	E	e	17					
			F	17	40				
10.	I	E	e	18	10				
			F	19					
10.	I	E	e	19	14.2				
			eL	19	40				
			M ₁	19	49		20		8
			F	20	2		15		5
			M ₂	21	15				
11.	I	E	e	8	40				Santo Domingo.
			F	9	30				
14.	I	E	e	0	46.1				
			F	1	20				Vom 14. bis 16. Mai unterbrochen.
			e	10	20				
18.	I	E	F	10	40		16		8
			M	10	40				
			F	11	10				
			F	11	10				20. Mai 10 h bis 15 h unterbrochen.

Datum	Charakter	Komponente	Phase	Zeit			Periode s	Amplitude μ	Bemerkungen
				h	m	s			
Mai 20.	I	E	e	21	6			1	
21.	I	E	F	21	20				
			e	8	50				
22.	II	E	M	8	59			6	
			F	7	16				
			eP	7	35	57		10	Epizentraldistanz 9000 km.
			eS	7	45	55		20	
			eL	8	4				
			M ₁	8	8.5			20	46
23.	I	E	M ₂	8	12			18	90
			F	10	20				
			eP	19	57	15			Epizentraldistanz 9000 km.
			eS	20	7	10			
			eL	20	25				
			M	20	30.5	14		8	
25.	I	E	F	21	40				
27.	I	E	e	17	45			1	
			F	18	8	58			
28.	I	E	M	13	5			2	
			F	13	7.9				
29.	I	E	e	13	20			2	
			F	7	40	18		2	
31.	I	E	M	8	20			18	2
			F	8	20				
Juni 1.	I	E	eP	1	13			18	1
			eS	1	18.5				
			eL	1	24				
			M	1	24	40			Epizentraldistanz 10000 km.
			F	6	8	20			
			iS	6	12	38			
3.	I	E	eL	6	19			20	10
			M	6	38				
			F	6	53.2				
			e	7	40				
			M	19	37	10		4	1. Mai 4 h bis 11 h unterbrochen.
			F	19	46				
4.	I	E	e	20	40			2	
			F	5	36				
5.	I	E	M	5	39			1	
			F	5	54				
5. 6.	I	E	e	0	27			1	
			F	1	2				
6.	I	E	e	20	59			1	
			F	21	9				
7.	II	E	e	23	59			1	
			F	0	14				
7.	I	E	e	13	35			1	
			F	13	45				
			eS	3	7	42			Calitri.
			eL	3	8	23			
			M	3	9	33			
			F	3	9.6	8		115	
7.	I	E	e	4				1	
			F	12	42				

Datum	Charakter	Komponente	Phase	Zeit			Periode s	Amplitude μ	Bemerkungen	
				h	m	s				
Juni 9.	I	E	e	13	(2)					
			eS	13	11.5					
			eL	13	28					
12.	I	E	M	13	36			20	3	
			F	14	30					
			eP	21	38	12				
			e	21	41	44				
			M	21	47				10	
			F	22						
13.	I	E	e	3	5				1	
			F	3	16					
14.	I	E	e	20	49	39				
			iS	20	57	35				
			eL	21	5.4				18	6
			M	21	9.4					
			F	21	30					
			eP	5	20	46				
16.	II	E	i	5	24	6			Südspanien und Nordfrankreich.	
			eL	5	26					
16.	II	E	M	5	27.5				45	
			F	6						
16.	II	E	eP	7	50	40				
			iR	7	54	24			30	
			i	8	11	34				
			F	10	30					
			e	17	31.3					
			S	17	36	25				
16.	I	E	M	17	38				6	
			F	17	44					
			e	14	(31)					
			eL	14	35					
			M	14	36.5				30	
			F	15						
24.	I	E	eP	20	24	18				
			iS	20	28	0				
			eL	20	30					
			M	20	32.5				4	
			F	20	50					
			e	14	35					
25.	I	E	eL	14	36.5				30	
			M	14	36.5					
			F	15						
			eP	20	24	18				
			iS	20	28	0				
			eL	20	30					
Juli 13.	I	E	M	20	32.5				4	
			F	20	50					
			eP	9	33	(17)				
			i	9	33	37				
			eL	9	33	50				
			M	9	33	57	bis 1/2	30		
Sept. 9.	II	N	F	9	39					
			iP	2	25	22				
			iS	2	35	24				
			i	2	42	50				
			eL	2	51.5					
			M ₁	2	55.2		24	50		
9.	I	N	M ₂	3	4.6			16	75	
			F	6						
			e	8	45					
			F	8	51					
			F	8	45				2	
			F	8	51					

Datum	Charakter	Komponente	Phase	Zeit			Periode s	Amplitude μ	Bemerkungen
				h	m	s			
Sept. 9.	I	N	eP	10	27	6	18	3	
				11	22				
				11	38	5			
				12	45				
12.	I	N	F	2	55		1		
				3	30				
17.	I	N	eP	0	21	8	14	8	Vom 12. bis 15. Sept. unterbrochen. Epizentraldistanz 9000 km.
				0	31	44			
				0	55				
				1	7				
18.	I	N	F	2	20		22	2	11. Sept. bis 11. Okt. unterbrochen.
				3	22				
				3	30				
				4	8				
Oktober 18.	I	N	eL	3	55	8	13	1	
				4	54				
20.	I	N	F	5	50		18	3	
				6	26				
				6	52				
				7	5	8			
27.	I	N	F	7	35		2	2	
				2	7				
30.	I	N	F	2	21		1	1	
				8	54	7			
Nov. 2.	I	N	eL	11	8		20	3	
				15	41				
6.	I	N	F	16	45		15	4	
				21	42				
				21	52	28			
				22	9	5			
9.	I	N	eL	22	17	3	27	27	
				22	50				
				7	21				
				7	37	3			
10.	I	N	F	8	7		24	6	Fällt in den Papierwechsel.
				8	21				
				14	25				
				15	4				
12.	I	N	F	15	4		2	20	
				19	28				
14.	I	N	F	19	43		15	1	
				8	57	7			
15.	I	N	eL	9	17		15	13	
				9	21	5			
				10	15				
				1	38				
15.	I	N	F	1	46	5	1	1	
				1	50	5			
				2	30				
				15	38	28			
15.	I	N	eL	15	50	0	12	10	
				15	7				
				16	16				
				16	23				
18.	I	N	F	16	16		36	10	
				16	23				
				16	23				
				18	20				

Datum	Charakter	Komponente	Phase	Zeit			Periode s	Amplitude μ	Bemerkungen
				h	m	s			
Nov. 25.	I	N	eL	2	47		12	1	
				2	57				
26.	I	N	F	5	59	32	20	5	
				6	3	16			
				6	45				
				7	2				
29.	I	N	eL	8	10		30	18	
				3	49				
				4	10				
				4	16	55			
Dez. 1.	I	N	F	16	59		20-40	1	
				18	10				
4.	I	N	F	12	37		1	1	
				13	35				
				14	25				
				18	13				
5.	I	N	F	18	50		1	1	
				18	13				
				18	50				
				10	37	40			
10.	I	E	F	10	48	25	30	5	
				11	20				
				11	33				
				11	44				
13.	I	N	F	12	47	31	24	6	Epizentraldistanz 7000 km.
				12	55	27			
				13	6				
				13	14				
16.	II	N	eP	13	14		15	50	Epizentraldistanz 10'000 km.
				16	59	23			
				16	10	21			
				16	28				
16.	I	N	F	16	48		20	110	
				19					
				20	12	18			
				20	17	50			
16.	I	N	eL	20	37		26	14	
				20	45				
				20	54				
				21	50				
17.	I	N	F	1	8		18	2	
				1	50				
17.	I	N	F	8	12		20	2	
				9					
18.	I	N	eL	4	10		28	6	
				4	33				
				4	37	5			
				5	40				
18.	I	N	F	6	26		12	4	
				6	47				
				6	49				
				7	32				
18.	I	N	F	21	50		12	2	
				22	10				

Datum	Charakter	Komponente	Phase	Zeit			Periode s	Amplitude μ	Bemerkungen
				h	m	s			
Dez. 23.	II	N	e i eL	1	42		10	23	
				1	47	48			
26.	I	N	M F eL	2	7		15	3	
				3	10				
27.	I	N	F eL	7	20		12	1	
				7	40				
27.	I	N	F eL	8			6	1	
				20	35				
29.	I	N	F eL	21	20		20	8	
				22	41				
30.	I	N	F eL	22	57		10	3	
				14	59				
30.	I	N	F eL	15	8		1	1	
				15	35				
30.	I	N	F eL	2	12	10	1	1	
				2	39				
30.	I	N	F eL	3	15		1	1	
				4	21				
30.	I	N	F eL	5			1	1	
				20	42				
				1911.					
Jänner 1.	II	N	eP iS eL	11	(26)		15	40	Epizentraldistanz 4500 km.
				11	31	46			
1.	I	N	M F eL	11	39		6-10	10	
				13	10	25			
2.	I	N	F eL	16	8		12	1	
				16	22				
2.	I	N	F eL	16	24.5		18	1	
				17	15				
3.	I	N	F eL	4	49		18	1	
				5	10				
3.	I	N	F eL	12	5		18	1	
				12	43				
3.	I	N	F eL	13	5		18	1	
				0	11				
3.	I	N	F eL	1	0		18	3	
				1	14				
3.	I	N	F eL	2	15		1	1	
				8	44				
3.	I	N	F eL	9	0		1	1	
				9	4				
4.	III	N	iP eS eL	9	45		20	100	
				16	23				
4.	III	N	iP eS eL	16	31		2	45	
				0	34				
4.	III	N	iP eS eL	0	40		1	1	
				0	(45)				
				6	40		Die Ausschläge sind auf dem Papier nicht mehr sichtbar (von 0 h 48' bis 1 h 0'). Von 3 h 10' bis 3 h 23' treten lange Wellen von 90" Schwingungsdauer auf. Kleinere aufgelagerte Wellen haben 16" Periode. In den darauffolgenden Stunden treten immer wieder zeitweise sehr lange Wellen auf.		

Datum	Charakter	Komponente	Phase	Zeit			Periode s	Amplitude μ	Bemerkungen
				h	m	s			
Januar 4.	I	N	e F eL	10	20		40-50	5	
				10	45				
4.	I	N	M F eL	10	45		8-10	70	F fällt in den Papierwechsel.
				11	15				
4.	I	N	F eL	12			12	1	
				17	20				
4.	I	N	F eL	17	48		2		
				22	52				
6.	I	N	F eL	22	57		13	20	
				22	59				
7.	I	N	F eL	23	45		15	10	
				16	33.7				
7.	II	N	F eL	16	37.3		10	3	
				16	55				
7.	II	N	F eL	2	26		16	27	
				2	41				
9.	I	N	F eL	3	(33)		5-8	7	
				4	0				
9.	I	N	F eL	4	22		20	3	
				5	12.7				
12.	I	N	F eL	5	18		6	20	F fällt in das nächste Diagramm.
				5	45				
14.	I	N	F eL	20	7.8		33	6	
				20	35				
14.	I	N	F eL	19	11		6	12	
				19	16				
14.	I	N	F eL	19	18		18	2	
				19	26				
16.	I	N	F eL	19	28.5		18	2	
				19	50				
25.	I	N	F eL	10	7		13	2	Von 1 h 17' bis 1 h 20' sind den langen Wellen kurzperiodische Wellen aufgelagert.
				10	44				
30.	I	N	F eL	10	58		15	6	10
				11	20				
30.	I	N	F eL	1	9		6	10	Infolge starker Bodenunruhe sind schwächere Diagramme nicht kenntlich.
				1	17				
Feber 5.	I	N	F eL	1	35		15	2	
				1	25				
10.	I	N	F eL	1	30		6	10	
				1	31.5				
12.	I	N	F eL	1	50		6	5	
				6	5				
12.	I	N	F eL	6	30		7	40	
				6	40				
13.	I	N	F eL	8	0		8	0	
				22	25				
13.	I	N	F eL	23	10		12	2	
				15	36				
14.	I	N	F eL	15	50		7	37	
				7	37				
14.	I	N	F eL	8	5		8	5	
				8	5				

Datum	Charakter	Komponente	Phase	Z e i t			Periode s	Amplitude μ	Bemerkungen
				h	m	s			
Feber 18.	III	N	P iS eL M F	19	49	4	10	50	Epizentraldistanz 6000 km.
				19	55	41			
				20	2·5				
18./19.	III	N	P eS eL M F	20	7		18-20	820	Fällt in das nächste Diagramm. Balkanhalbinsel (Monastir?)
				22	37	57			
				22	40	17			
				22	41·2				
				22	41·7				
19.	II	N	F eP eS eL F	0	10		12	400	Oberitalien.
				8	20	25			
				8	21	15			
				8	22				
21.	I	N	e eL F	20	14		16	3	17. bis 20. Feber starke Boden- unruhe. Schwächere Diagramme nicht kenntlich.
				20	35				
22.	I	N	F e	21	5				
				2	25				
23.	II	N	i eL M F	2	35		12	50	
				12	37	5			
				13	0				
26.	I	N	eP S eL M ₁ M ₂ M ₃ F	13	(44)		12	50	Epizentraldistanz 10000 km.
				13	55	30			
				14	7				
				14	11				
				14	15·8				
				14	24				
28. Feber 1. März	I	N	e F i F eL M F	23	54		1		Fällt in den Papierwechsel. 20. Feber stärkere Bodenunruhe.
				0	24				
2.	I	N	e i F eL M F	20	22		52		
				20	25				
				20	50				
6.	I	N	eL M F	18	47		20	6	
				19	20				
				19	33				
8.	I	N	F e M F	1	59		15	2	
				2	5				
				2	15				
9.	I	N	F e	6	52				
				7	15				
10./11	I	N	F e	23	50				
11.	I	N	eP S eL M ₁ M ₂ F	0	12		32	9	Epizentraldistanz 10000 km.
				4	35				
				4	46				
				5	12				
				5	20				
				5	31·5				
11.	I	N	F e i M F	21	42	55	8	50	
				21	45	24			
				21	47·5				
				22	30				
				22	30				

Datum	Charakter	Komponente	Phase	Z e i t			Periode s	Amplitude μ	Bemerkungen
				h	m	s			
März 13.	I	N	eL M F	16	33		24	7	
				16	42				
				17	10				
14.	I	N	eL M F	19	35		15	4	13. u. 14. März stärkere Boden- unruhe.
				19	47				
				20	23				
16.	I	N	e M F	4	19·5		12	5	
				4	21·8				
				4	30				
19.	I	N	eL M F	6	5		18-20	1	Vom 16. März 15 h bis 17. März 12 h unterbrochen.
				6	15				
				6	33				
20.	I	N	F e	5	(18)				
				5	55				
20.	I	N	F e	16	49				
				17					
21.	I	N	F e M F	8	16·5		4	3	
				8	17·7				
				8	23				
21.	I	N	F e	15	23·5				
				15	30				
24.	I	N	e eL M F	4	41	22	5-7	2	
				5	0				
				5	5				
April 4.	II	N	iP iS eL M F	16	47	45	6	12	Epizentraldistanz 1900 km.
				16	50	54			
				16	53	23			
				16	53	34			
				17	30				
				17	30				
7.	II	N	eP RP eS eL M F	7	55	38	16	9	Epizentraldistanz 8200 km.
				7	58	40			
				8	5	25			
8.	I	N	eL M F	8	25		20	6	
				8	36·5				
				9	30				
10.	I	N	F eP iS eL M F	10	36		47	2	Epizentraldistanz 9000 km.
				10	52				
				19	54	42			
11.	I	N	eL M F	20	4		20	2	
				20	18				
				20	22				
11.	I	N	F e	21	15				Vom 12. April 17 h bis 13. April 12 h unterbrochen.
				15	4				
				15	15				
15.	I	N	F e M F	16	33		9	2	
				13	9				
				13	26				
17.	I	N	F e	14					
				6	34				
18.	I	E	F e M F	7			12	10	
				12	35				
				12	55				
18.	I	E	F M F	13	10				
				13	10				

Datum	Charakter	Komponente	Phase	Z e i t			Periode s	Amplitude μ	Bemerkungen
				h	m	s			
April 18.	I	EN	eP	19	21	44	24-30	1	Epizentraldistanz 5000 km.
				19	27	42			
				19	34.5				
				19	37				
21.	I	E	eL	20	30		18	4	
				3	25				
				4	20				
				4	52				
26.	I	E	eL	5	30				
				20	40				
26.	I	E	eF	20	52				
				23	10				
27.	I	N	eF	23	22		12-15	3	
				0	5				
27.	I	E	eL	1	6			1	
				1	16				
27.	I	E	eF	1	29			1	
				3	10				
28.	I	E	eL	11	14	10		35	Fällt in den Papierwechsel.
				12	15				
29.	I	N	eL	16	41.5		12-15	3	
				16	51				
				16	54.5				
				17	30				
30.	I	N	e(P)	5	46	48	20	4	
				5	56	12			
				6	7				
				6	14				
30.	I	N	e(S)	6	45		9	4	
				21	46	31			
				21	49	47			
				21	52.5				
Mai 2.	I	N	eL	21	52.8		10	5	
				22	20				
				10	25				
				10	32				
4.	I	E	eL	14	41.8		18	10	
				15	20				
				15	37				
				16	15				
5.	II	N	iP	0	48	13		8	Epizentraldistanz 8000 km.
				0	57	36			
				1	27				
				3					
13.	I	NE	eF	4	15			3	
				4	34				
				5	17				
				6					
14.	I	N	eL	18	15				23. Mai. Starke Bodenunruhe. Unregelmäßige Schwankungen. Die E-W Komponente zeigt vornehmlich einseitige Aus-schläge nach West.
				18	45				
25.	I	N	eM	0	33			2	
				0	34.8				
25.	I	N	eF	0	45			1	
				9	21				
25.	I	N	eF	9	30				
				9	30				

Datum	Charakter	Komponente	Phase	Z e i t			Periode s	Amplitude μ	Bemerkungen
				h	m	s			
Mai 26.	I	N	eM	22	10			1	
				22	23				
				22	50				
Juni 3.	I	E	eM	21	40				
				23	3				
				24	15				
7.	III	E	iP	12	15	47	6-12	10-50	Stadt Mexiko.
				(12	28	1)			
				12	47				
				13	6				
7.	I	E	eP	12	15	49	2-3	2	
				12	26	25			
				12	48				
				12	56				
7.	I	E	eL	12	48		5-6	4-5	
				12	56				
				13	8				
				15					
7.	I	E	eM	20	45				
				21	3				
				22					
				22					
8.	I	N	eP	1	5		35	5-6	5
				1	4	56			
				1	14				
				1	24				
15.	II	N	eS	4			12	30	
				4					
				2					
				2					
15.	II	N	eF	21					Fällt in die Unterbrechung.
				21					
17.	I	E	eM	6	23	20	12	40	
				7	5	30			
				8	30				
				8	30				
24.	I	E	eM	13	44		9	10	
				13	57				
				15					
				15					
28.	I	E	eL	21	14		16-18	5	
				21	50				
				22	55				
				23	15				
Juli 1./2.	I	E	eP	23	11				
				23	23				
				23	40				
				23	49.5				
				1					
				14	41	17			
				14	51				
				17	30				
				14	41	19			
				14	50	55			
15	2								
15	3.5								
16									
4.	II	E	iP	14	41	17	10	25	Epizentraldistanz 9000 km.
				14	51				
				10					
				10	350				
4.	II	E	eP	14	41	19	2-3	1	
				14	50	55			
				15	2				
				15	3.5				
4.	II	E	eS	14	50	55	6	3	
				15	2				
				15	3.5				
				16					

Datum	Charakter	Komponente	Phase	Z e i t			Periode s	Amplitude μ	Bemerkungen
				h	m	s			
Juli 5.	I	E	e M	3	20				
			F	3	45.5	11	50		
5.	I	E	e M	5	45				
			F	19	57	18	8		
11./12.	I	E	e M	20	48.5				
			F	21	30				
12.	II	E	e iP	22	41				
			F	0	45				
			eS	5	21	12	20	Epizentraldistanz 13000 km.	
			eL	5	35	42	11	120	
			M	5	50				
			F	6	10		14	170	
12.	I	E	e M	8	20				
			F	9	25				
			eL	10	7		12	5	
13.	I	E	e M	11					
			F	10					
			eL	10	32		11	20	
14.	I	E	e M	11	30				
			F	3	8	28			
			eL	3	58				
			F	4	45	12-15	4		
Oktober 26.								Vom 19. Juli 9 h 30' bis 24. Oktober 10 h 9' unterbrochen.	
29.	I	N	e M	19	15			Stärkere Bodenunruhe.	
			F	20	3	22	2		
			eL	20	50				
Nov. 1.	I	E	e M	5	30				
			F	5	47		4		
			eL	6	5				
1.	I	E	e iP	10	38				
			eS	10	40		2		
			eL	10	7		6		
			M	11	15		18	35	
			F	12					
2.	I	E	e M	3	10				
			F	3	24		18	4	
			eL	4					
8.	I	N	e eL	15	34.6				
			M	15	57				
			F	16	5	14	5		
			eL	17					
9.	I	N	e M	6	10				
			F	6	20		20	2	
			eL	7					
13.	I	N	e iP	17	24	14			
			eS	17	35	29		Epizentraldistanz 10000 km.	
			eL	17	50				
			M	18	3		16	13	
			F	19	20				
14.	I	E	e i	15	1	12			
			eL	15	5	36	6	10	
			F	15	10				
			eL	15	25				

Datum	Charakter	Komponente	Phase	Z e i t			Periode s	Amplitude μ	Bemerkungen
				h	m	s			
Nov. 15.	I	E	eL	22	36				
			M	22	40		15	10	
			F	23					
16.	I	E	e M	13	6.8				
			F	13	20			8	
			eL	14	30				
16.	II	N	iP	22	26	35			
			i	22	26	45			
			iL	22	27	26			
			M	22	27	36	2?	300	
			F	23	20				
		E	iP	22	26	32			
			i ₁	22	26	40			
			i ₂	22	26	45			
			iL	22	27	25			
			M	22	27	35	?	400	
			F	23	40				
		E	iP	22	26	33	1?		
			i	22	26	42	1.2	120	
			iL	22	27	25			
			M	22	27	30	1.3	210	
			F	22	37				
18.	I	N	eP	8	47				
			eS	8	57				
			eL	9	14		18	5	
			M	9	30				
			F	10	20				
19.	I	E	e F	3	8				
			eL	5	10				
20.	I	N	e M	15	26				
			F	15	40		20	4	
			eL	16	20				
21.	I	E	e M	20	22				
			F	20	30				
			eP	20	45	32			
21.	I	E	e eS	20	56				
			eL	21	09		16	3	
			M	21	16				
			F	22					
			eL	7	30				
22.	I	E	e F	8	20				
			eL	21	15				
22.	I	E	e F	21	30				
			eL	21	30				
23.	I	E	e(P)	0	22.7				
			iS	0	28	12		3	
			i	0	34	9		2	
			eL	0	37				
			F	2					
25.	I	E	e F	21	20				
			eL	21	45				
28.	I	N	e M	17	46		18	2	
			F	17	59				
			eL	18	25				
30.	I	N	e F	2	32			1	
			eL	2	40				
30.	I	N	e F	12	44		19	3	
			F	13	40				

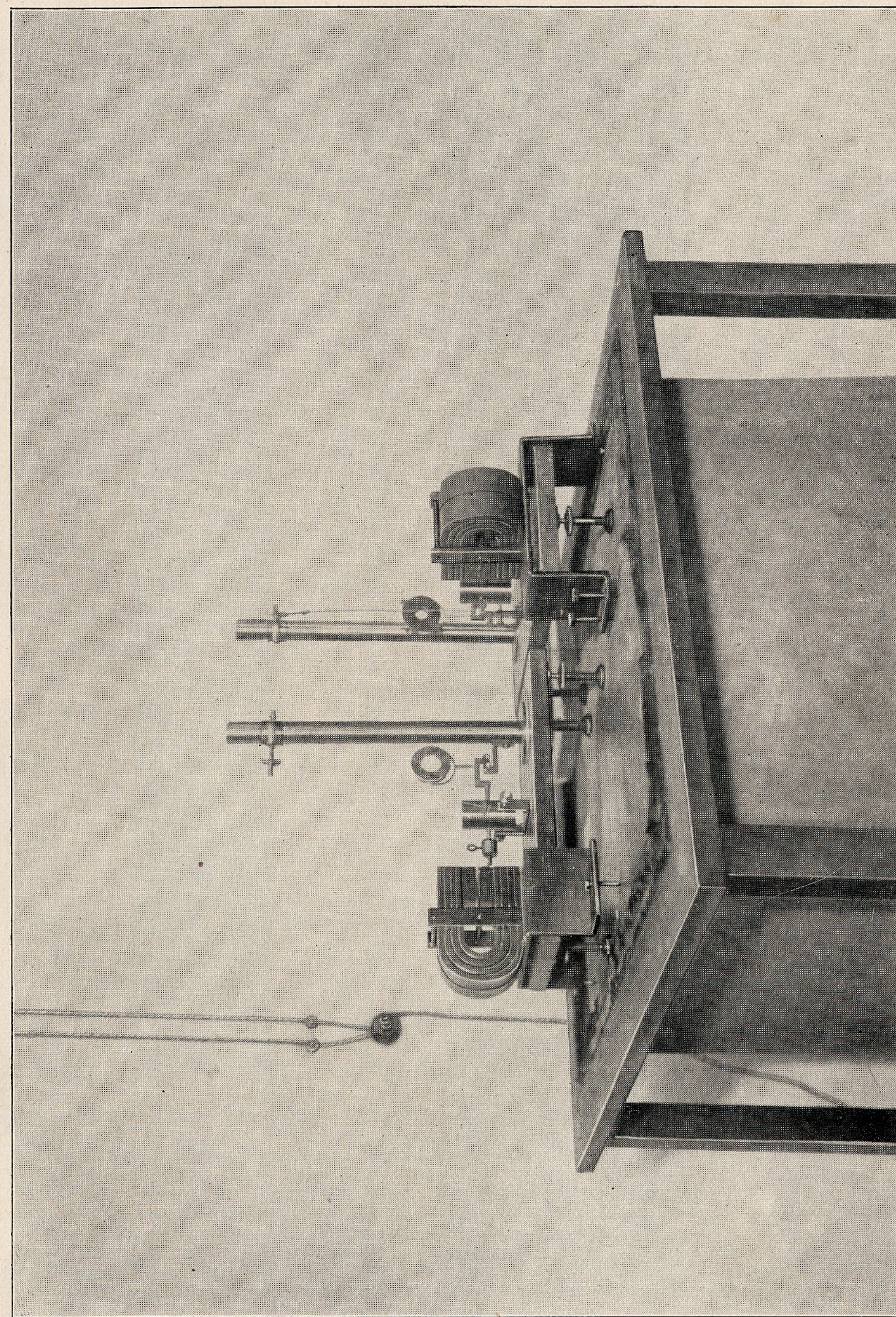
Territoriales Erdbeben von Südwestbayern — Bodensee — Schweiz.

Conrad Pendel (Eigenperiode: 3.3 Sek., Dämpfung: 1:3.5, Vergrößerung: 50-fach.)

Fällt in das nächste Diagramm.

Datum	Charakter	Komponente	Phase	Z e i t			Periode s	Amplitude μ	Bemerkungen	
				h	m	s				
Dez. 4.	I	N	e	15	31	3				
			eL	15	50					
			M	15	57		16	3		
			F	16	50					
7.	I	E	eP	0	15		52		Epizentraldistanz 10.000 km.	
			eS	0	26		35			
			eL	0	44					
			M	1	25		16	14		
			F	2	50					
11.	I	N	e(P)	12	23		12		Epizentraldistanz 8000 km.	
			eS	12	32		13			
			eL	12	41					
			M	12	53		16	4		
			F	14	30					
Vom 12. Dez. 11 h bis 13. Dez. 11h unterbrochen.										
14.	I	E	e	22	39			4		
16.	II	N	eP	20	27		36		Epizentraldistanz 10100 km.	
			rP	20	31		6	20		
			iS	20	38		44	30		
			eL	20	54					
			M ₁	21	25		30	30		
			M ₂	21	11		18	83		
			F	23	40					
20.	I	N	eP	7	2		17		Epizentraldistanz 9000 km.	
			eS	7	12		15			
			eL	7	22					
			M ₁	7	40		20	8		
			M ₂	7	46		16	13		
			M ₃	7	48		16	10		
22.	I	N	e	14	18		38			
			eL	14	42					
			F	15	20					
23., 24.	I	E	eP	22	18				43	
			eS	22	28					
			eL	22	41					
			M	22	53		20	18		
			F	0	20					
26.	I	E	e	14	30					
			M	14	50					
			F	15						
29.	I	N	e	16	53					
			eL	17	10					
			M	17	21		18	5		
			F	18						
30.	I	N	eP	7	26		35			
			eL	8	3					
			M ₁	8	9		20	8		
			M ₂	8	20		18	10		
			F	10						

Erdbebenwarte Eger.

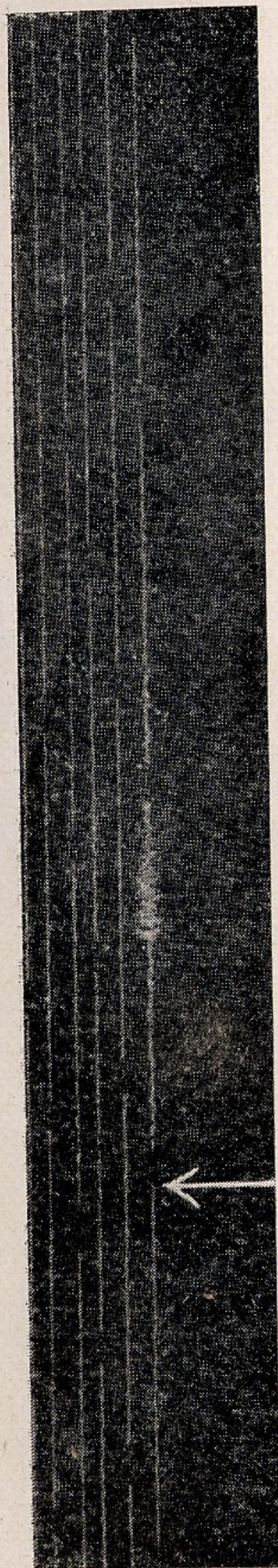


Phot. G. Irgang.

Betonpfeiler mit den beiden Horizontalpendel-Komponenten N-S u. E-W (mit magnetischer Dämpfung).



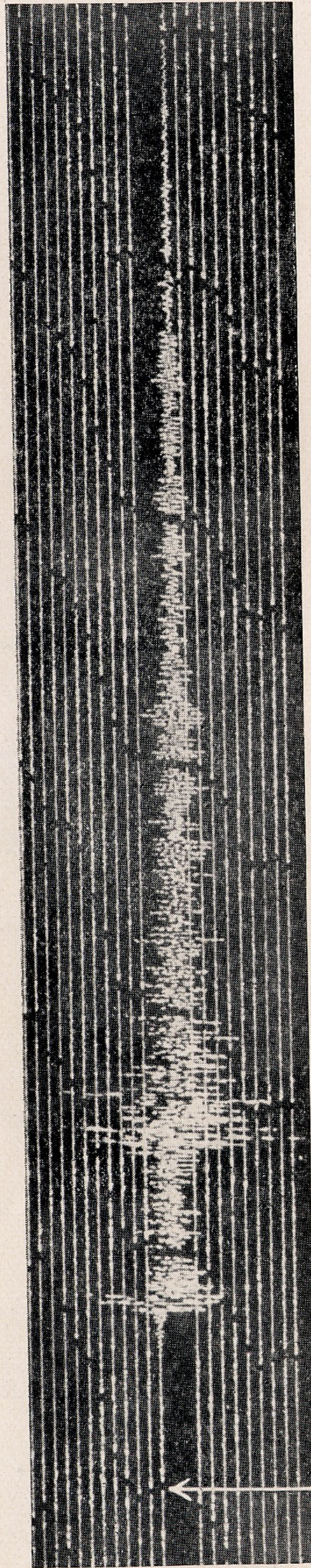
Erdbebenwarte Eger.



9 h 33' (Korr.: -48")

Erdbeben von Südbayern und Nordtirol am 13. Juli 1910.

2.2 fache Vergrößerung des Originaldiagrammes. (Conradpendel: Kompon.: E-W, Periode: 4", Dämpfung: 1:4, Vergrößerung: 31 fach).



22 h 26' (Korr.: 0)

Erdbeben von Südwestbayern—Bodensee—Schweiz am 16. November 1911.

2 fache Vergrößerung des Originaldiagrammes. (Conradpendel: Kompon.: E-W, Periode: 4.3", Dämpfung: 1:3.5, Vergrößerung: 50 fach).